

## تومور ویلمز

### چکیده:

تومور ویلمز اولین بار در سال ۱۸۱۴ توسط توماس Tomas F.Rance شرح داده شده است (۱). این تومور شایع‌ترین تومور شکمی در کودکان کمتر از ۱۵ سال می‌باشد که بیش از ۷۵ درصد موارد در سن کمتر از پنج سالگی تظاهر می‌کند و در ۱۰ تا ۱۳ درصد موارد با ناهنجاری‌های جنینی زیر همراه می‌شود:

Aniridia- Hemihypertrophy-  
Primary cryptorchidism- Double collecting system-  
fused kidney- Hypospadias-

تومور ویلمز از نظر پاتولوژی به favourable histology و unfavourable histology تقسیم می‌شود.

علائم بالینی این تومور یک توده‌ی شکمی، تب و هماچوری می‌باشد (۱۷). در معاینه‌ی فیزیکی علاوه بر توده‌ی شکمی ناهنجاری‌های مادرزادی مرتبط قابل شناسایی است. با بررسی‌های تصویربرداری گسترش تومور مشخص شده و تصمیم درمانی گرفته می‌شود. با توجه به آنکه توالی و زمان بندی درمان‌ها شامل جراحی، شیمی درمانی و رادیوتراپی بر روی پاسخ دهی، طول عمر و برگشت پذیری تومور ویلمز بسیار موثر می‌باشد، بررسی multidisciplinary بیماری قبل از تصمیمات درمانی بسیار با اهمیت است.

۹۰ تا ۹۵ درصد تومورهای داخل شکمی در هنگام تشخیص قابلیت جراحی دارند و جراحی به عنوان درمان قطعی اولیه محسوب می‌شود. در زمانی که رادیوتراپی بعد از جراحی نیاز باشد زمان شروع آن مهم است و تاخیر بیش از ۱۰ روز بعد از جراحی ریسک عود را بسیار بالا می‌برد. طبقه بندی COG بر اساس سن، وزن تومور، مرحله بندی، LOH در IP، هیستولوژی و پاسخ سریع به درمان، گروه بندی ریسک نهایی، مشخص و پروتوکل‌های شیمی درمانی معین می‌گردد.

**کلیدواژه‌گان:** تومور ویلمز، جراحی، رادیوتراپی، شیمی درمانی، پاشیدگی تومور.

### اپیدمیولوژی:

تومور ویلمز (Nephroblastoma) یک تومور کلیوی جنینی می‌باشد که رایج‌ترین تومور شکمی در کودکان است و ۶٪ سرطان‌های دوران کودکی را تشکیل می‌دهد. میزان بروز در کودکان سفیدپوست کمتر از ۱۵ سال، ۸/۱ مورد جدید در هر میلیون نفر می‌باشد. (۲) این تومور در ۴ تا ۸ درصد موارد دوطرفه است و بیش از ۷۵٪ بیماران، قبل از سن ۵ سالگی بیماری را بروز می‌دهند. (۳-۴) نسبت مردان به زنان برای تومورهای یک طرفه ۰/۹۲ و برای تومورهای دوطرفه ۰/۶ می‌باشد. میزان بروز این تومور در سیاه‌پوستان آمریکا و آفریقا تقریباً بیش از ۳ برابر آسیای شرقی و سفیدپوستان بین این دو گروه می‌باشند. (۳-۶)

## مرحله بندی:

Stage	قبل از کموتراپی (NWTSG)	بعد از کموتراپی (SIOP)
I	تومور محدود به کلیه و به طور کامل به وسیله‌ی جراحی برداشته شده است	تومور به کلیه محدود می‌شود یا با سودوکپسول فیروز کلیوی احاطه می‌شود. ممکن است تومور به کپسول یا سودوکپسول نفوذ کند اما به سطح بیرونی نمی‌رسد و کاملاً توسط جراح برداشته می‌شود
	تومور قبل یا حین جراحی پاره نشده باشد	تومور ممکن است داخل سیستم لگنچه گسترش یابد و داخل حالب وارد شود
	عروق سینوس کلیوی بیش از ۲mm، درگیر نیستند	عروق سینوس کلیوی درگیر نیستند
	هیچ تومور با باقیمانده‌ای به طور آشکارا فراتر از مارژین‌های excision وجود ندارد	درگیری عروق داخل کلیوی ممکن است وجود داشته باشد
II	تومور به فراتر کلیه گسترش می‌یابد اما به طور کامل با جراحی برداشته می‌شود	گسترش تومور به فرای کلیه از کپسول یا سودوکپسول اما به طور کامل با جراحی برداشته می‌شود
	تومور باقیمانده در یا ورای مارژین جراحی به طور آشکار وجود ندارد	نفوذ تومور به سینوس کلیوی و تهاجم عروق خونی و لنفاتیک خارج از پارانشیم کلیه، اما با جراحی به طور کامل برداشته می‌شود
	ترومبوز تومور در عروق خارج کلیه اگر به صورت enbloc با تومور برداشته شود	تومور به درون ارگان‌های مجاور یا vena cava گسترش یافته اما به طور کامل با جراحی برداشته می‌شود
	بیوپسی تومور یا spillage موضعی محدود به فلانک در گذشته توسط StgaeII ، NWTSG و در بررسی‌های COG StageIII در نظر گرفته می‌شود	
III	لنف نودهای ناف کلیه، زنجیرهای Periaortic، یا فراتر از آن با تومور درگیر باشد	جراحی ناکامل تومور به صورت میکروسکوپی یا گروس در مارژین‌های جراحی باقی می‌ماند.
	آلودگی پری‌توتنی منتشر توسط تومور	هر گره لنفاوی شکمی درگیر
	کاشت‌های تومورال در سطح پری‌توتن	پارگی تومور حین یا قبل از عمل جراحی (صرف نظر از معیارهای دیگر برای Staging)
	گسترش تومور به صورت میکروسکوپی یا گروس در مارژین‌های جراحی	تومور به سطح پری‌توتن نفوذ پیدا کرده است
	تومور به علت نفوذ موضعی درون ساختارهای حیاتی به طور کامل قابل جراحی نباشد	ترومبوزهای کوچک تومور در مارژین‌های جراحی عروق یا حالب حضور دارند. جراحی از میان تومورها برداشت ناکافی درگیری لنف نود رژیونال، در سیستم Staging پیشین STOP ، StageII در نظر گرفته می‌شد
IV	حضور متاستازهای هماتوژن یا متاستازها به گره لنفاوی دور دست	متاستازهای هماتوژن (ریه، کبد، استخوان، مغز و ...) یا متاستازهای لنف نود خارج از منطقه شکم، لگن
V	درگیری دوطرفه کلیوی در زمان تشخیص اولیه	تومورهای دوطرفه کلیوی در تشخیص

COG: Children's Oncology Group ; NWTSG : National Wilms Tumor Study Group ; SIOP : International Society of Pediatric Oncology. Reproduced with permission from : Metzger ML , Dome JS. Current therapy for Wilms; tumor. Oncologist 2005 ; 10: 815.

**پاتولوژی:**

نفرورمزوبلاستیک رایج‌ترین تومور کلیوی است که فرد در ماه اول زندگی با آن مواجه می‌شود. سن متوسط در زمان بروز ۳ ماه می‌باشد، افتراق این تومور از تومور ویلمز به واسطه رفتار خوش خیم آن می‌باشد و درمان انتخابی آن Nephrectomy است. (۹،۱۰) Entityهای Nodular Renal Blastomas & Nephrogenetic rests به عنوان بیماری Prewilms شرح داده شده است.

دو فرم از Nodular Renal Blastoma به شرح زیر است:

- ۱- نودول‌های کوچک Subcapsular که از embryonic restهای خوش خیم تشکیل شده است
- ۲- نفروژنیک رست‌ها Nephrogenic rests: یا محدود به قشر کلیه هستند یا در سراسر لوب کلیوی پخش شده‌اند که به آنها Nephroblastomatosis می‌گویند.

**تومور ویلمز:**

تومور ویلمز یک نئوپلاسم جنینی شامل سه عنصر blastemal, epithelial و عناصر Stromal می‌باشد، که اگر یکی از اجزای بیش از ۲/۳ نمونه‌ی تومور را در برگیرد، الگو بر طبق جز غالب تعیین می‌شود. (۹،۱۰). نوع مخلوط (mixed type) رایج‌ترین است. وقتی جز blastemal غالب باشد تومور تهاجمی‌تر است (۳۹٪) و در صورتی که جز Stromal غالب باشد تومور با پیشرفت آهسته‌تری می‌باشد (۱۸٪) که مشابه نوع مخلوط رفتار می‌کند.

تومور اغلب یک طرفه است و هر چند موارد دو طرفه یا چندگانه هم می‌تواند رخ دهد. تومور معمولاً جامد، لوبوله و کلسیفیه نیست. با این حال ممکن است با مناطق نرم و کیستیک نیز همراه باشد. فاکتورهای پروگنوستیک NWTs در بررسی‌های هیستوپاتولوژیک مشخص شده است. در اولین NWTs - ۸۸٪ نمونه‌ها به عنوان هیستولوژی مطلوب (FH) دسته بندی شدند. (۱۱) تومور ویلمز بدون اجزای آناپلاستیک یا سارکوماتوز هیستولوژی مطلوب می‌باشد.

هیستولوژی نامطلوب تومور ویلمز آناپلاستیک، Rhabdoid tumor و clear cell sarcoma of the kidney (CCSK) می‌باشد که دو مورد آخر در entityهای جدا از ویلمز هستند. (۹) Anaplasia به صورت بزرگ شدگی قابل توجه هسته‌ها در سلول‌های استرومال، اپی تلیال و بلاستمال حداقل ۳ برابر هسته‌های سلول‌های کوچک‌تر و

هسته‌های هاپیرکوماتید بزرگ و شواهد میتوز متعدد می‌باشد. اندکس DNA بزرگتر از ۱/۵ با anaplastic histology همراه می‌باشد. (۱۰،۱۲،۱۳) Anaplasia در ۴٪ تمام موارد NWTs-3 و در ۵٪ بیماران در مطالعات SIOP ثبت شده است.

به نظر می‌رسد که Anaplasia با مقاومت بیشتری به شیمی درمانی نسبت به نوع تهاجمی تومور ویلمز همراه می‌باشد. تومور ویلمز Anaplastic ممکن است Local یا diffuse باشد.

Diffuse Anaplasia به تومورهای با تغییرات هسته‌ای آناپلاستیک در بیش از ۱۰٪ از 400 field میکروسکوپی اطلاق می‌گردد و Focal Anaplasia نیز به کمتر از ۱۰٪ هسته‌های Anaplastic اطلاق می‌شود. (۱۴) focal anaplasia با outcome مطلوب‌تری همراه است

**Rhabdoid tumor of the kidney:**

RTK یک تومور بسیار بدخیم می‌باشد که با Rhabdomyosarcoma یا تومور ویلمز غیر مرتبط است و ممکن است منشأ آن Neural crest باشد. (۹،۱۰) سلولهای Rhabdoid توسط سیتوپلاسم eosinophilic که حاوی ترکیبات کروی فیالین است، مشخص می‌شود که اغلبشان شامل vimentin و cytokeratin می‌باشند.

اکثر RTKهای کلیه در دوسال اول زندگی قابل تشخیص می‌باشند. یک همبستگی شناخته شده بین RTK و نئوپلاسم‌های اولیه سیستم اعصاب مرکزی وجود دارد. (۱۰)

**Clear Cell Sarcoma of the kidney:**

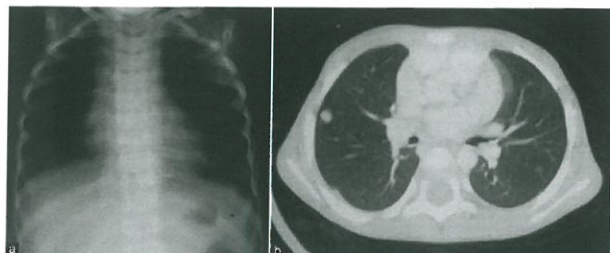
CCSK یک نئوپلاسم مزانشیمی اولیه با منشأ سلولی ناشناخته می‌باشد که ۴٪ تومورهای کلیوی دوران کودکی را سبب می‌شود. در این سلول‌ها Vacuolation سیتوپلاسمیک ممکن است غالب باشد. در NWTs-3، متاستاز استخوانی اولیه در مقایسه با شیوع ۰/۳٪ در بیماران دیگر در CCSK حدود ۲۳٪ بوده است.

**تظاهرات بالینی و بررسی‌های تشخیصی:**

سندرم‌های کلینیکی مشخصه تومور ویلمز:

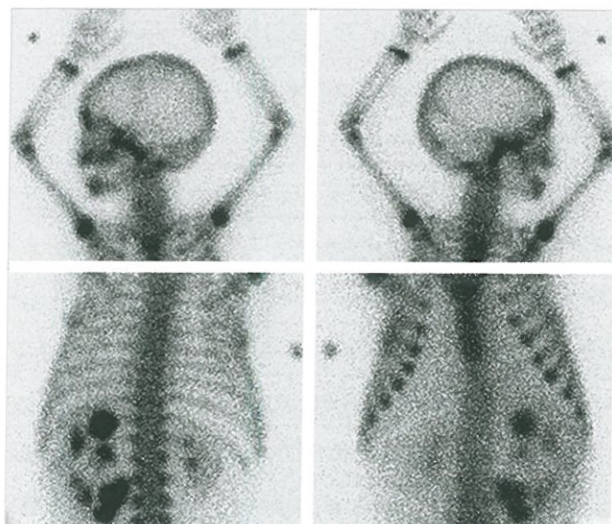
- Aniridia
  - hemihypertropia
  - BWS (exomphalos, macroglossia, gigantism)
- هستند. (۱۶)

برای تشخیص تومور دوطرفه ویلمز می توان از CT یا MRI قبل از جراحی کمک گرفت اما بررسی کلیه طرف مقابل در حین جراحی را منتفی نمی کند. (۱۸) رادیوگراف های ساده قفسه سینه برای تعیین metastases ریوی استفاده می شوند. تعدادی از مراکز thoracic CT (Figure 3, b) را پیشنهاد می کنند. CT در حضور فیلم های ساده قفسه سینه که نرمال هستند تایید شده است. (۱۹)



**Fig 3: (a)Chest X-ray and computed tomography scan of a case of Stage IV Wilms' tumor – pulmonary nodules are not seen on X-ray chest (b)thoracic ct**

اسکن رادیونوکلئوتید استخوان (Figure 4) در CCSk و RTK کلیوی جهت بررسی گسترش بیماری لازم است. اسکن استخوان و بررسی اسکلت در CCSK مکمل هم دیگراند. (۱۱، ۲۰) Brain CT در RTK پاتولوژی و شاید تومور ویلمز با گسترش ریوی مشخص دارای ارزش باشد.



**Fig 4 : Bone-scan showing widespread bone metastases in a child with clear -cell sarcoma of the kidney**

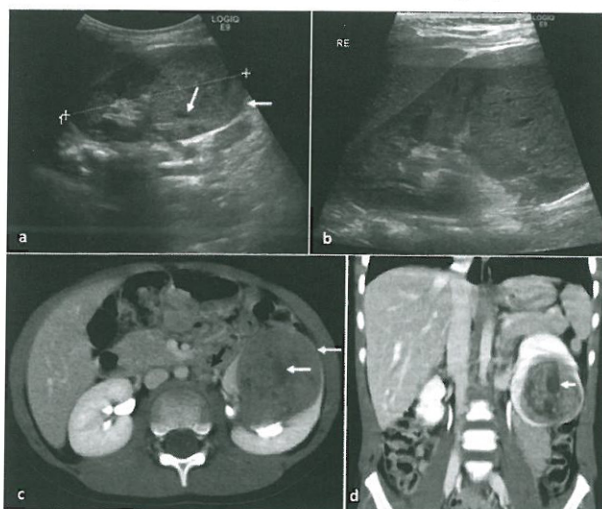
... ادامه در نشریه ی شماره بعد

علائم بالینی معمولاً یک توده ی شکمی، تب و هماچوری می باشد. (۱۷) درد شکمی ممکن است نتیجه ی Distention موضعی، خونریزی داخل تومور خود به خودی و یا پارگی به فضای پریتون باشد. معاینه ی فیزیکی در ارزیابی وضعیت شکمی و شناسایی ناهنجاری های مادرزادی مرتبط با آن حائز اهمیت است. ارزیابی میزان بیماری شامل IVP (Figure 1) و رادیوگرافی قفسه ی سینه (Figure 3, a) می باشد.



**Fig. 1: Intravenous pyelography (IVP) showed masses in the pelvicalyceal system, Wilms' tumor is the most likely diagnosis**

وقتی یک توده شکمی شناسایی می شود یا مشکوک است، توموگرافی کامپیوتری شکم (Figure 2) برای تعیین حجم درگیری تومور در یک یا هر دو کلیه ها، عملکرد کلیوی، گره های لنفاوی رتروپریتون و حمله به سیستم جمع آوری یا ورید کلیوی، استفاده می شود.



**Fig. 2: Wilms tumor – stage I (nephroblastoma) in a 4-year-old boy. (a) and (b) longitudinal US image shows a heterogeneous isoechoic mass (yellow arrow) in the lower pole, with pseudocyst (white arrow). (c) Axial and (d) coronal contrast-enhanced CT scan in excretory phase shows a heterogeneous hypodense left renal tumor with cystic areas (white arrow) compressing the renal pelvis. Adenopathies at left lombo-aortic lymphatic chains were also evident (black arrow).**

## Reference:

1. Rence TM. Case of fungus haematodes in kidneys. *Medphys.* 1814;32:19
2. Gurney JG, Davis S, Severson RK, et al. Trends in cancer incidence among children in the U.S. *cancer.* 1996; 78 :532-541
3. Breslow N, Olshan A, Beckwith JB, et al. Epidemiology of Wilm's tumor. *Med Pediatr Oncol.* 1993; 21 : 172-181
4. D'Angio GJ. National Wilm's tumor study. Seattle, WA : NWTs data and statistical center ; 1991
5. Breslow NE, Churchill G, Nesmith B, et al. Clinicopathologic features and prognosis for wilm's tumor patients with metastases at diagnosis. *Cancer.* 1986;58 2501-2511
6. Hadley GP, Jacobs C. The clinical presentation of wilm's tumor in black children. *S afr Med J.* 1990;77:565-567
7. Pendergrass TW. Congenital anomalies in children with wilm's tumor: a new survey *cancer* 1976;37:403-409
8. Breslow NE. Epidemiological Features of Wilm's tumor: results of the national wilm's tumor study. *J natl cancer INST:* 1982;68: 412-436
9. Beckwith JB, Palmer NF. Histopathology and prognosis of Wilm's tumor: result from the first national wilm's tumor study. *cancer.* 1978; 41 : 1937-1948
10. Schmidt D, Beckwith JB. Histopathology of childhood renal tumor. *Hematol Oncol clin north Am.* 1995;9: 1179-1200
11. D'Angio GJ, Evans AE, Breslow N, et al. The treatment of wilm's tumor: result of the national wilm's tumor study. *cancer* 1976;64:633-646
12. Neville HL, Ritchey ML. Wilm's tumor: overview of National Wilm's Tumor Study Group results. *Urol Clin North Am.* 2000;27:435-442.
13. Bonadio JF, Storer B, Norkool P, et al. Anaplastic Wilm's tumor: clinical and pathologic studies. *J Clin Oncol.* 1985;3:513-520.
14. Faria P, Beckwith JB, Mishra K, et al. Focal versus diffuse anaplasia in Wilm's tumor-new definitions with prognostic significance: a report from the National Wilm's Tumor Study Group. *Am J Surg Pathol.* 1996;20:909-920.
15. Haas JE, Bonadio JF, Beckwith JB. Clear cell sarcoma of the kidney with emphasis of ultrastructural studies. *Cancer.* 1984;54:2978-2987
16. Gutjahr P. Progress and controversies in modern treatment of Wilm's tumor. *World J Urol.* 1995;13:209-212.
17. Leape L, Breslow N, Bishop H. Surgical resection of Wilm's tumor: results of the National Wilm's Tumor Study. *Ann Surg.* 1978;181:351-356
18. Green DM. Wilm's tumor. *Eur J Cancer.* 1997;33:409-418.
19. Wilimas JA, Douglass EC, Magill L, et al. Significance of pulmonary computed tomography at diagnosis in Wilm's tumor. *J Clin Oncol.* 1988;6:1144-1146.
20. Feusner JH, Beckwith JB, D'Angio GJ. Clear cell sarcoma of the kidney: accuracy of imaging methods for detecting bone metastases. Report from the National Wilm's Tumor Study. *Med Pediatr Oncol.* 1990;18:225-227.